

برآورد میزان فرسایش کناری رودخانه با استفاده از مدل پایداری کناره و فرسایش پای کرانه. مطالعه موردنی: رودخانه لاویج- شهرستان نور

محمدمهدی حسینزاده^۱، سیدحسن صدوق^۲، سعیده متین بیرانوند^{۳*}، رضا اسماعیلی^۴

^۱دانشیار گروه جغرافیای طبیعی، دانشکده علوم زمین، دانشگاه شهید بهشتی

^۲استاد گروه جغرافیای طبیعی، دانشکده علوم زمین، دانشگاه شهید بهشتی

^۳دانشجوی دکتری ژئومورفولوژی، دانشکده علوم زمین، دانشگاه شهید بهشتی*

^۴استادیار گروه جغرافیای طبیعی، دانشگاه مازندران

تاریخ دریافت: ۹۵/۴/۲۱ تاریخ پذیرش: ۹۶/۷/۳

چکیده

فرسایش کناری رودخانه یکی از مشکلات اصلی در مدیریت و سازماندهی کانال‌های آبرفتی است. از آنجاکه هرساله سازه‌ها و زمین‌های کشاورزی مجاور رودخانه لاویج با خطر تغییر بستر رودخانه و فرسایش کناری مواجه هستند، از این‌رو هرگونه عملیات اجرایی و تأسیساتی در حاشیه این رودخانه مستلزم آگاهی از جابه‌جایی‌های آتی الگوی این رودخانه و پیش‌بینی میزان فرسایش کناری رودخانه است. در سال‌های اخیر استفاده از مدل‌های عددی جهت تعیین تحرک کanal و درنتیجه برآورد میزان فرسایش‌پذیری کanal پیشرفتهای زیادی داشته است. در این مقاله با استفاده از مدل پایداری کناره و فرسایش پای کرانه (BSTEM)، فرسایش کناری رودخانه لاویج (با زایه‌ای ۲۰ متری) شبیه‌سازی گردید. هدف از این شبیه‌سازی پیش‌بینی میزان پسروی کناره رودخانه لاویج (فرسایش رودخانه‌ای و گسیختگی ژئوتکنیکال) و همچنین برآورد میزان رسوب تولیدی ناشی از این پسروی است. بدین منظور داده‌های ژئومتریک مربوط به مقطع رودخانه، داده‌های دبی و جریان رودخانه، اطلاعات ژئوتکنیک لایه‌های تشکیل‌دهنده کرانه و اطلاعات پوشش کرانه وارد مدل گردید. سپس عمل شبیه‌سازی برای دو جریان در حالت دبی لبالی و دبی حداقل لحظه‌ای انجام شد. نتایج شبیه‌سازی شرایط رودخانه لاویج با استفاده از این مدل در دبی‌های لبالی و حداقل لحظه‌ای نشان داد که فاکتور امنیت (FS) کرانه در هر دو مورد کمتر از ۱ است و این بدین معناست که در هر سیالابی که دبی لبالی و یا دبی حداقل لحظه‌ای بررسد امکان فرسایش کناری، ناپایداری و سقوط کرانه را فراهم می‌کند. میزان پسروی و فرسایش کرانه در جریان حاصل از دبی حداقل لحظه‌ای بالاتر از (تقرباً ۲/۵ برابر) میزان فرسایش در جریان حاصل از دبی لبالی بود؛ همچنین مشخص شد میزان پسروی کرانه در لایه‌های پایینی که عمدتاً از رسوبات غیرمتراکم گراول و قلوه‌سنگ هستند، به مرتبه بیشتر از لایه‌های متراکم بالایی است. با توجه به اینکه مدل BSTEM از جمله مدل‌هایی است که در آن اهمیت پارامترهای ژئوتکنیک در میزان پسروی کناره لحاظ شده است، مدل مناسب برای کرانه‌های مرکب از چند لایه با تراکم متفاوت است. از آنجاکه این مدل همزمان پارامترهای ژئومتری کanal، هیدرولوژی جریان و ژئوتکنیک رسوبات کرانه را در برآورد پایداری لحاظ می‌کند، پیشنهاد می‌گردد. به منظور بررسی اثر حفاظت‌های به کار گرفته‌شده در کاهش میزان فرسایش کناری رودخانه و انتخاب بهترین نوع حفاظت کناره از این مدل در مدیریت رودخانه‌ها استفاده شود.

واژه‌های کلیدی: فرسایش کناری، ناپایداری کرانه رودخانه، مدل پایداری کناره و فرسایش پای کرانه (BSTEM)، رودخانه لاویج.

دارد (پگی^۲ و همکاران، ۷۷۳:۲۰۰۵)؛ بنابراین لزوم توجه به این موارد در آنالیزهای هزینه-فایده برای برنامه‌ریزی حفاظت کناره رودخانه ضروری به نظر می‌رسد.

حوضه آبخیز لاویچ رود با مساحت ۱۴۶ کیلومترمربع از حوضه‌های مستقل البرز شمالی است. همه‌ساله سازه‌ها و زمین‌های کشاورزی مجاور رودخانه در این حوضه با خطر تغییر بستر رودخانه و فرسایش کناری و همچنین سیلاب مواجه هستند. از این رو تخمین جابه‌جایی الگوی این رودخانه و همچنین تعیین شاخص فرسایش کناری این رودخانه ضروری به نظر می‌رسد.

وجود روش‌های قابل اعتماد برای پیش‌بینی پایداری کناره و میزان عقب‌نشینی آن ضروری به نظر می‌رسد. در سال‌های اخیر استفاده از مدل‌های عددی جهت پیش‌بینی تحرک کanal و درنتیجه برآورد میزان فرسایش‌پذیری کناره پیشرفت‌های زیادی داشته است. مدل پایداری کناره و فرسایش پای کرانه (BSTEM)^۳ یکی از مدل‌های شبیه‌سازی عددی است که باهدف پیش‌بینی پسروی کناره (ناشی از فرسایش رودخانه‌ای و گسیختگی ژئوتکنیکال) توسعه یافته است.

مدل BSTEM مدلی دقیق و انعطاف‌پذیر در شبیه‌سازی پایداری کرانه، تخمین بار رسوب و مطالعات بازسازی رودخانه است. با این وجود برای بررسی میزان فرسایش کناری و پایداری کرانه، مطالعات اندکی با این مدل انجام شده است. پارکر و همکاران^۴ (۲۰۰۸) پایداری کرانه رودخانه را در بازه‌های با مواد کناری متفاوت را با استفاده از مدل BSTEM بررسی نمودند. میدگلی و همکاران^۵ (۲۰۱۲) با استفاده از مدل BSTEM میزان پسروی کناری رودخانه بارن فورک کریک^۶ را پیش‌بینی کردند. نتایج نشان داد بیشترین میزان عقب‌نشینی کرانه از ماه می تا سپتامبر به علت رگبارهای سیلابی

مقدمه و طرح مسئله

عقب‌نشینی کناره کanal یک فرآیند بالهیت در مورفودینامیک رودخانه است که تغییرپذیری کanal، تکامل دشت سیلابی و توسعه زیستگاهها را تحت تأثیر قرار می‌دهد. زمین‌های حاشیه رودخانه در معرض تخریب سواحل هستند که خساراتی از جمله تخریب زمین‌های کشاورزی، پل‌ها، سازه‌های ساحلی و... را به دنبال دارد. مهندسی رودخانه و اجرای هرگونه عملیات تأسیساتی در رودخانه و کناره‌های آن باید مبتنی بر کمیت فرسایش کناری رودخانه باشد. فرسایش کناری رودخانه همچنین یکی از منابع اصلی تولید رسوبات رودخانه است که سبب کدورت آب، مشکلات مواد مغذی و آلودگی‌های آب، همچنین پر شدن دریاچه‌های ذخیره آب می‌گردد؛ بنابراین مشاهده می‌گردد که فرسایش کناری اغلب به صورت یک مخاطره طبیعی مطرح است که باید سعی در جلوگیری و کنترل آن داشت (پگی^۱ و همکاران، ۷۷۳:۲۰۰۵).

همان‌گونه که ذکر شد فرسایش کناری رودخانه یکی از مشکلات اصلی در مدیریت و سازماندهی کanal‌های آبرفتی است. در پژوهش‌های اخیر لزوم بازنگری سیاست‌های گذشته در ارتباط با مدیریت و سازماندهی رودخانه‌های آبرفتی (با توجه به ماهیت فرسایش کناری) موردنوجه قرار گرفته است. افزایش آگاهی‌ها سبب بازنگری نسبت به فرآیند فرسایش کناری شده است: ۱) طبیعت برخی از حفاظت‌های مهندسی‌شده برای کناره‌ها که سبب افزایش ناپایداری می‌گردد. برای مثال احداث بعضی از سازه‌های حفاظتی سبب کاهش ذخیره رسوب رودخانه می‌گردد که این امر ممکن است سبب آغاز زیربری‌های جدید و آسیب به سازه‌ها در قسمت‌های پایین‌دست شود، ۲) هزینه‌های بالای اقتصادی سازه‌های حفاظتی، ۳) نقش کلیدی فرسایش کناری در دینامیک کanal و ۴) و دست‌یابی به این شناخت مهم که فرسایش کناری نقش مهمی در ایجاد و توسعه سرویس‌های اکوپیستم

2. Piegay et al., 2005

3. Bank Stability and Toe Erosion Model

4. Parker et al., 2008

5. Midgley et al., 2012

6. Barren Fork Creek

1. Piegay et al., 2005

در اندازه‌گیری فرسایش رودخانه‌ای (برای مثال جدال شدن مواد کناره در اثر عمل نیروی‌های هیدرولیک)، شامل استفاده و توسعه تکنیک‌های خاص برای اندازه‌گیری پارامترهای فرسایش‌پذیری رسوبات کناره (تالورس و همکاران^۳, ۱۹۹۹:۲۸۱، هنسون و سیمون، ۱۹۹۳:۲۰۰۱^۴، وین و مستقیمی^۵, ۲۰۰۶:۶۹، کلارک و وین^۶, ۲۰۰۷؛ همچنین ایجاد روش‌هایی برای مدل‌سازی جریان نزدیک کناره با استفاده از محاسبات دینامیک سیالات و دیگر تکنیک‌ها (دریی و همکاران^۷, ۲۰۰۴:۲۶۸، کین و اسمیت^۸, ۲۰۰۶، مکبرايد و همکاران^۹, ۲۰۰۷:۲۱۹، جولین و تورس^{۱۰}, ۱۹۹۳:۲۰۰۶) ساز و کار پایینیکولا و همکاران^{۱۱}, ۲۰۰۷ (۱۰۵:۲۰۰۷) رودخانه از اختلاط جریان گسیختگی ساحل رودخانه، عبارت از اختلاط جریان رودخانه با مواد بستر و دیواره جریان در سطح پایه ساحل (محل تلاقی ساحل و بستر) است (صمدی و امیری تکلدانی, ۱۳۹۴). لحظه شروع حرکت ذره رسوبی که در اصطلاح به آن آستانه حرکت می‌گویند در پیش‌بینی فرسایش کرانه رودخانه اهمیت فروزان دارد. نظری و حیدری (۱۳۹۰) با استفاده از مدل آزمایشگاهی، آستانه حرکت ذرات رسوبی یکنواخت را مورد بررسی قرار دادند، نتایج ایشان نشان داد، شروع حرکت ذرات رسوبی نه تنها به اندازه ذرات رسوب وابسته بوده بلکه به نسبت عمق جریان به قطر ذرات نیز بستگی دارد. از طرفی به دلیل طبیعت تصادفی حرکت رسوب در طول یک بستر آبرفتی، تعیین دقیق شرایط جریانی که در آن یک ذره رسوب به حرکت درخواهد آمد دشوار است (خریمه نژاد و شفاعی بجستان, ۱۳۸۹).

در سال‌های اخیر استفاده از مدل‌های عددی جهت پیش‌بینی تحرک کanal و درنتیجه برآورد میزان فرسایش‌پذیری کanal پیشرفت‌های زیادی داشته است.

- 3. Tolhurst et al., 1999
- 4. Hanson and Simon, 2001
- 5. Wynn and Mostaghimi, 2006
- 6. Clark and Wynn, 2007
- 7. Darby et al., 2004
- 8. Kean and Smith, 2006a, 2006b
- 9. McBride et al., 2007
- 10. Julian and Torres, 2006
- 11. Papanicolaou et al., 2007

اتفاق افتاده است. کانسور و همکاران^۱ (۲۰۱۵) تغییرات مکانی در مقاومت کرانه‌ها به فرسایش را در محل مئاندرهای بزرگ با استفاده از مدل BSTEM مورد بررسی قرار دادند و نتایج مطالعه آن‌ها نشان داد خصوصیات مکانیکی خاک کرانه، فاکتوری مهم در تغییرپذیری مکانی فرسایش کناری است. مدل BSTEM را اولین بار در ایران خزایی و همکاران (۱۳۹۵) برای بررسی فرسایش کناری رودخانه بشار به کاربردند و نتیجه گرفتند میزان پایداری کناره‌های رودخانه در مقاطع دارای پوشش گیاهی بسیار کمتر از مقاطع فاقد پوشش گیاهی است. شرفی و همکاران (۱۳۹۳) به بررسی تغییرات مورفولوژی رودخانه اترک با استفاده از تصاویر ماهواره‌ای پرداختند و نتیجه گرفتند وجود سازندهای فرسایش‌پذیر در کرانه رودخانه و تؤام شدن آن با افزایش بار بستر و عوامل انسانی سبب فرسایش کناری رودخانه و تغییر مسیر رودخانه شده است. در منطقه مورد مطالعه حسین‌زاده و همکاران (۱۳۹۶) پایداری رسوبات بستر و کرانه رودخانه لاویج را با استفاده از روش دی وحد بحرانی و تنش برشی بحرانی بررسی نمودند، نتایج کار نشان داد در مقاطع عرضی که شبیب بستر بیشتر و عرض کanal فعال کمتر است، تمامی اندازه ذرات موربد بررسی در دی‌لبالی شروع به حرکت خواهند نمود.

در این مقاله بر آنیم که با استفاده از مدل BSTEM عقب‌نشینی کرانه کanal رودخانه لاویج در بازه‌ای به طول ۲۰ متر شامل کرانه مرکب را در طول یک دوره هیدرولیکی فعال دی متوسط جریان و هم در دی‌حداکثر لحظه‌ای جریان بررسی نماییم.

مبانی نظری

عقب‌نشینی کnarه شامل ترکیبی از فرآیندهاست، اخیراً پیشرفت‌های زیادی در مورد اندازه‌گیری دو فرآیند مهم در عقب‌نشینی کnarه‌ها یعنی فرسایش رودخانه‌ای و شکست توده‌ای انجام گرفته است (رینالدی و دریی^{۱۲}, ۲۰۰۸:۲۱۳). برای مثال پیشرفت

- 1. Konsoer et al, 2015
- 2. Rinaldi and Derby, 2008

سطح مستعد شکست و گسیختگی، نرخ فرسایش را تخمین می‌زنند.

روش تحقیق

مدل BSTEM یکی از مدل‌های شبیه‌سازی عددی برای پیش‌بینی پسروی کناره رودخانه است که با در نظر گرفتن تؤمن نیروهای مقاومت خاک و نیروهای محرک در طول سطح مستعد شکست و گسیختگی، نرخ فرسایش را تخمین می‌زند. در این مدل، پایداری کرانه با محاسبه فاکتور ایمنی (FS) تعیین می‌شود. در حالت کلی فاکتور ایمنی گویای نسبت بین نیروی مقاومت برشی و نیروی تنش برشی (نیروی محرک گسیختگی) در امتداد یک سطح شکست بالقوه است. مدل BSTEM فرسایش را بر اساس معادله تنش برشی مازاد ارائه شده به وسیله پارسنایدس^۷ (۱۹۶۵) (رابطه ۱) پیش‌بینی می‌کند.

$$\epsilon = \kappa (\tau_0 - \tau_c) a \quad \text{رابطه ۱}$$

در این رابطه ϵ نرخ فرسایش (متر بر ثانیه)، κ ضریب فرسایش‌پذیری (مترمکعب بر نیوتون بر ثانیه)، τ_0 میانگین تنش برشی (کیلو پاسکال)، τ_c تنش برشی بحرانی خاک (کیلوپاسکال) و a توانی است که معمولاً معادل ۱ در نظر گرفته می‌شود. ضریب فرسایش‌پذیری و تنش برشی بحرانی تابع ویژگی‌های متفاوت خاک هستند. برای خاک‌های غیر چسبنده، تنش برشی بحرانی بر پایه متوسط قطر ذرات خاک برآورد می‌گردد (گارسیا^۸، ۲۰۰۸:۲۱). میانگین تنش برشی نیز با استفاده از رابطه شماره ۲ محاسبه می‌شود:

$$\tau_0 = \gamma w R S \quad \text{رابطه ۲}$$

در این رابطه w وزن واحد آب (۹/۸۱) کیلونیوتون بر مترمکعب، R شعاع هیدرولیک (متر) و S شبکه کanal (متر بر متر) است (میدلی^۹، ۲۰۱۲:۲۰۷).

آزمایشگاه ملی رسوب در آکسفورد-می‌سی‌سی‌بی، مدل BSTEM را به صورت یک ماکرو در محیط نرم‌افزاری اکسل تدارک دیده است. برای

با این وجود، مدل سازی تغییرات کanal در عمل، یک مشکل چالش‌برانگیز است. از آنجایی که جریان آب و رسوب به صورت پیوسته در طول زمان از میان کناره‌های با مواد اغلب متنوع در حرکت است، این پیوستگی و تنوع، دقت و قابلیت پیش‌بینی مدل‌ها را کاهش می‌دهد، به طوری که اکثر مدل‌ها برای شبیه‌سازی شرایط خاص کالیبره شده‌اند (دری^۱ وندویل، ۲۰۰۳:۲۶۳).

استفاده از مدل‌های شبیه‌سازی عددی در ژئومورفولوژی رودخانه‌ای در طول ۲۰ سال گذشته به سرعت افزایش یافته است. در ابتدا مدل‌ها منحصر به یک بُعد از فضا بودند، اما پیشرفت در ساخت افزارهای محاسباتی اکنون قابلیت شبیه‌سازی با دو یا سه بُعد را فراهم کرده است (کندولف و دری^۲، ۲۰۰۲:۴۷۱). عنصر کلیدی در مدل سازی عددی، تفسیر فرآیندهای طبیعی درون مجموعه‌ای از معادلات است که می‌تواند به وسیله تعدادی از الگوریتم‌ها حل شود. توصیفات ریاضی از فرآیندهای طبیعی یا به صورت تئوری به دست آمده است (برای مثال معادلات حرکت سیال) یا به طور تجربی (برای مثال بیشتر معادلات حمل رسوب)، اما رویکرد اخیر بیشتر در ژئومورفولوژی معمول است (کایرکبی^۳، ۱۹۹۶).

مدل پایداری کناره و فرسایش پای کرانه (BSTEM^۴) یکی از مدل‌های شبیه‌سازی عددی است که باهدف پیش‌بینی پسروی کناره (ناشی از فرسایش رودخانه‌ای و گسیختگی ژئوتکنیکال) توسعه یافته است. مدل BSTEM یکی از مدل‌های پرکاربرد و پیشرفته در خصوص پایداری کناره رودخانه است که به وسیله آزمایشگاه ملی رسوب در آکسفورد-می‌سی‌سی‌بی در آمریکا^۵ توسعه یافته است (سیمون و همکاران^۶، ۲۰۰۲:۱۸۳). این مدل در نظر گرفتن تؤمن نیروهای مقاومت خاک و نیروهای محرک در طول

-
1. Darby and Vandewiel, 2003
 2. Kondolf and Pieglay, 2002
 3. Kirkby, 1996
 4. Bank Stability and Toe Erosion Model
 5. National Sedimentation Laboratory in Oxford, Mississippi, USA
 6. Simon et al., 2000

7. Partheniades

8. Garcia, 2008

9. Midgley et al., 2012

خاک، مدل می‌تواند مقادیر این پارامترها را تخمین بزند. در این مطالعه مقادیر تخمینی مدل استفاده شده است. در این قسمت همچنین محاسباتی برای برآورد تنفس برپی برخانی بر پایه اندازه ذرات وجود دارد.

ج) پوشش گیاهی و سایر مواد پوشاننده کناره در منوی **Bank Vegetation and Protection**: در مدل BSTEM نوع پوشش‌های حفاظتی ایجاد شده توسط انسان و یا مقادیر پوشش گیاهی موجود بر روی کرانه در میزان پسروی کرانه لحاظ شده است. در بازه موردنظر پوشش حفاظتی انسانی وجود نداشت و پوشش گیاهی روی کرانه شامل مقدار اندکی از ریشه‌های درخت توسکا بود که در این قسمت به مدل معرفی شد.

پس از ورود اطلاعات ذکر شده به مدل، در منوی **Bank Model Output** هندسه کرانه قابل مشاهده است. در صورتی که اطلاعات به صورت کامل و صحیح وارد شده باشد با اجرای مدل در این مرحله فاکتور ایمنی کرانه (FS)، هندسه کرانه، زاویه و ارتفاع وقوع سطح شکست ارائه می‌گردد. در مرحله بعد با ورود به بخش **Toe Model Output** مدل‌سازی فرسایش پای کرانه برای دوره‌های جریانی خاص انجام می‌شود. در این بخش می‌توان نتایج مدل شامل تنفس برپی محاسبه شده، میزان پسروی کرانه، میزان رسوبات حمل شده از کرانه و پای کرانه، نیمرخ جدید کرانه و مقدار فرسایش را مشاهده نمود.

محدوده و قلمرو پژوهش

بازه مورد مطالعه در حوضه آبریز لاوج رود و در محدوده پارک جنگلی کشپل در قسمت جنوبی شهر چمستان (شهرستان نور) و در استان مازندران واقع شده است (شکل ۱). سازه‌ها و زمین‌های کشاورزی مجاور این رودخانه همواره با خطر پسروی و فرسایش کناری دیواره‌ها مواجه هستند که علاوه بر وارد آوردن خسارت بر سازه‌ها و زمین‌های زراعی مجاور، سبب ایجاد مشکلات ثانویه مرتبط با افزایش مقدار بار رسوب نیز می‌گردد. بازه مورد مطالعه در این پژوهش یکی از مستعدترین قسمت‌های رودخانه به فرسایش و

اجرای این مدل، داده‌های زیر به عنوان ورودی به ماکرو BSTEM معرفی شد:

الف) پروفیل کناره و پارامترهای جریان در منوی **Input Geometry**: داده‌های موردنیاز این بخش از طریق بررسی میدانی جمع‌آوری شد. به این منظور با استفاده از شاخص نقشه‌برداری و متر لیزری مختصات نقاط مختلف کرانه شامل ارتفاع از بستر و فاصله کرانه از شاخص اندازه‌گیری شد. لازم به ذکر است که می‌توان تا ۲۳ نقطه را جهت ورود به مدل و ترسیم کرانه تعریف کرد. در ادامه تعداد لایه‌های تشکیل‌دهنده کرانه و ضخامت هر یک مشخص گردید؛ همچنین داده‌های ارتفاعی و شیب کرانه^۱، طول و شیب پای کرانه^۲ نیز اندازه‌گیری شد. پارامترهای جریان شامل طول و شیب بازه با استفاده از متر لیزری اندازه‌گیری شد. میانگین عمق جریان در حالت دبی لبالی و دبی سیلان و طول مدت جریان نیز بر پایه مشاهدات ساکنان محلی و آثار بر جای‌مانده در حاشیه رودخانه به دست آمد (تصویر موجود در شکل شماره ۱ برداشت‌های میدانی از بازه مورد مطالعه را نشان می‌دهد). حد پایینی پوشش گیاهی کناره‌ها، سطح بالایی پوینت بارها، شکستگی شیب در امتداد کرانه رود و تغییرات در اندازه رسوبات کرانه مهم‌ترین شاخص‌هایی بودند که جهت تخمین دبی لبالی در بازدیدهای میدانی استفاده شدند.

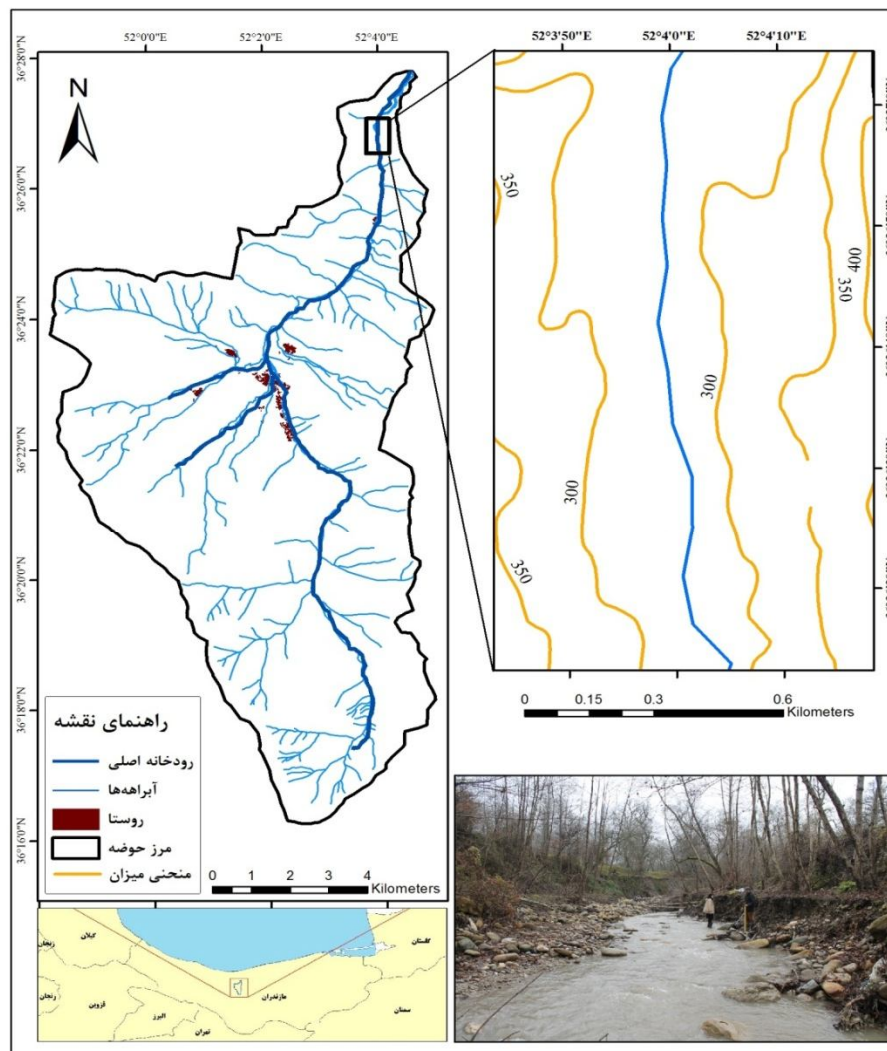
ب) پارامترهای ژئوتکنیکال (زاویه اصطکاک داخلی، چسبندگی مؤثر، فشار آب منفذی، وزن مخصوص خاک اشباع) خاک کناره در منوی **Bank Material**: اندازه ذرات نمونه‌های خاک برداشت شده در بازدیدهای میدانی، پس از انتقال به آزمایشگاه با استفاده از روش گرانولومتری تعیین گردید و وارد مدل شد (جدول ۲). یکی از ویژگی‌های مهم مدل BSTEM قابلیت تخمین پارامترهای ژئوتکنیک خاک با توجه به اندازه و بافت خاک است. در صورتی که امکان اندازه‌گیری پارامترهای ژئوتکنیک برای پژوهشگر وجود نداشته باشد، با وارد کردن اندازه ذرات

1. Bank

2. Toe

تغییر می‌کند. بیش از ۷۵ درصد مساحت حوضه تحت پوشش جنگل‌های انبوه دامنه‌های شمالی البرز قرار دارد. میانگین دبی سالانه حوضه $1/7$ مترمکعب در ثانیه می‌باشد و حداقل دبی ثبت شده در طی دوره آماری (۱۳۳۷-۱۳۹۰) 175 مترمکعب در ثانیه بوده است.

پسروی کناره می‌باشد؛ بنابراین پیش‌بینی میزان فرسایش کناری در این بازه از رودخانه لاویج امری ضروری به نظر می‌رسد. مقدار بارش سالانه این حوضه در پارک جنگلی کشپل طبق داده‌های ایستگاه هواشناسی چمستان 865 میلی‌متر است که به سمت بالادرست حوضه (قسمت جنوبی) به 300 میلی‌متر هم



شکل ۱: محدوده منطقه مورد مطالعه در استان مازندران

که شرایط ژئومتریک کانال و شرایط ژئوتکنیک رسوبات دیواره یکسان باشد، قابل تعمیم است، در جایی که شرایط ژئومتریک کانال و ژئوتکنیک رسوبات شروع به تغییر می‌کند، شرایط فرسایشی کرانه نیز متفاوت خواهد شد. به منظور شبیه‌سازی شرایط فرسایشی در کرانه رودخانه در مدل BSTEM ابتدا با استفاده از

یافته‌های تحقیق

در این پژوهش به منظور بررسی میزان پسروی کرانه و حجم رسوب تولید شده در بازه‌ای به طول 20 متر از کانال رودخانه لاویج اقدام به شبیه‌سازی کرانه در مدل BSTEM شده است. قابل ذکر است که نتایج به دست آمده از مدل BSTEM در هر کرانه، تا جایی

آزمایشگاه به مدت سه هفته در فضای آزاد قرار گرفته تا خشک شوند، سپس قطر ذرات رسوبات کرانه با روش گرانولومتری با استفاده از الکهای با شماره مشهای مختلف مشخص گردید و وارد مدل شد. در شکل ۲ نیمرخ کرانه و ضخامت لایه‌های تشکیل دهنده آن مشاهده می‌شود. تصاویر مربوط به نیمرخ‌های کرانه (شکل‌های ۳ تا ۹)، نمودارهای خروجی حاصل از ماکرو BSTEM در محیط نرمافزاری اکسل می‌باشند، به جهت تفکیک لایه‌های مختلف کرانه و وضوح بیشتر چگونگی پسروی و شکست کرانه، نمودارها به محیط نرمافزاری ARCGIS انتقال داده شده و طرح شماتیک، کرانه از روی این نمودارها تهیه شد.

شاخص و دوربین نقشه‌برداری مقطع رودخانه نقشه‌برداری شد. ارتفاع نقاط مختلف کرانه از بستر و فاصله کرانه از شاخص استخراج و وارد مدل گردید (جدول ۱). در ادامه تعداد لایه‌های تشکیل دهنده کرانه و ضخامت هر یک مشخص گردید و در قسمت مربوطه وارد شد (جدول شماره ۲). میانگین عمق جریان در حالت دبی لبالی و متوسط دبی لحظه‌ای و طول مدت جریان نیز بر پایه داده‌های ثبت شده در ایستگاه هیدرومتری لاویچ (در طی دوره آماری ۱۳۹۰-۱۳۹۷) وارد مدل گردید (جدول ۳). در بازدیدهای میدانی از بازه موردمطالعه، از رسوبات دیواره کانال نمونه‌های مخلوط تهیه شد، نمونه‌ها پس از انتقال به

جدول ۱: مشخصات مقطع نقشه‌برداری شده در بازه موردمطالعه

۱	۲	۳	۴	۵	۶	۷	۸	۹	۱۰	۱۱	۱۲	۱۳	۱۴	۱۵	۱۶	۱۷	۱۸	۱۹	۲۰	۲۱	۲۲	۲۳	۲۴	۲۵	۲۶	۲۷	۲۸	۲۹	۳۰	۳۱	۳۲	۳۳	۳۴	۳۵	۳۶	۳۷	۳۸	۳۹	۴۰	۴۱	۴۲	۴۳	۴۴	۴۵	۴۶	۴۷	۴۸	۴۹	۵۰	۵۱	۵۲	۵۳	۵۴	۵۵	۵۶	۵۷	۵۸	۵۹	۶۰	۶۱	۶۲	۶۳	۶۴	۶۵	۶۶	۶۷	۶۸	۶۹	۷۰	۷۱	۷۲	۷۳	۷۴	۷۵	۷۶	۷۷	۷۸	۷۹	۸۰	۸۱	۸۲	۸۳	۸۴	۸۵	۸۶	۸۷	۸۸	۸۹	۹۰	۹۱	۹۲	۹۳	۹۴	۹۵	۹۶	۹۷	۹۸	۹۹	۱۰۰	۱۰۱	۱۰۲	۱۰۳	۱۰۴	۱۰۵	۱۰۶	۱۰۷	۱۰۸	۱۰۹	۱۱۰	۱۱۱	۱۱۲	۱۱۳	۱۱۴	۱۱۵	۱۱۶	۱۱۷	۱۱۸	۱۱۹	۱۲۰	۱۲۱	۱۲۲	۱۲۳	۱۲۴	۱۲۵	۱۲۶	۱۲۷	۱۲۸	۱۲۹	۱۳۰	۱۳۱	۱۳۲	۱۳۳	۱۳۴	۱۳۵	۱۳۶	۱۳۷	۱۳۸	۱۳۹	۱۴۰	۱۴۱	۱۴۲	۱۴۳	۱۴۴	۱۴۵	۱۴۶	۱۴۷	۱۴۸	۱۴۹	۱۵۰	۱۵۱	۱۵۲	۱۵۳	۱۵۴	۱۵۵	۱۵۶	۱۵۷	۱۵۸	۱۵۹	۱۶۰	۱۶۱	۱۶۲	۱۶۳	۱۶۴	۱۶۵	۱۶۶	۱۶۷	۱۶۸	۱۶۹	۱۷۰	۱۷۱	۱۷۲	۱۷۳	۱۷۴	۱۷۵	۱۷۶	۱۷۷	۱۷۸	۱۷۹	۱۸۰	۱۸۱	۱۸۲	۱۸۳	۱۸۴	۱۸۵	۱۸۶	۱۸۷	۱۸۸	۱۸۹	۱۹۰	۱۹۱	۱۹۲	۱۹۳	۱۹۴	۱۹۵	۱۹۶	۱۹۷	۱۹۸	۱۹۹	۲۰۰	۲۰۱	۲۰۲	۲۰۳	۲۰۴	۲۰۵	۲۰۶	۲۰۷	۲۰۸	۲۰۹	۲۱۰	۲۱۱	۲۱۲	۲۱۳	۲۱۴	۲۱۵	۲۱۶	۲۱۷	۲۱۸	۲۱۹	۲۲۰	۲۲۱	۲۲۲	۲۲۳	۲۲۴	۲۲۵	۲۲۶	۲۲۷	۲۲۸	۲۲۹	۲۳۰	۲۳۱	۲۳۲	۲۳۳	۲۳۴	۲۳۵	۲۳۶	۲۳۷	۲۳۸	۲۳۹	۲۴۰	۲۴۱	۲۴۲	۲۴۳	۲۴۴	۲۴۵	۲۴۶	۲۴۷	۲۴۸	۲۴۹	۲۵۰	۲۵۱	۲۵۲	۲۵۳	۲۵۴	۲۵۵	۲۵۶	۲۵۷	۲۵۸	۲۵۹	۲۶۰	۲۶۱	۲۶۲	۲۶۳	۲۶۴	۲۶۵	۲۶۶	۲۶۷	۲۶۸	۲۶۹	۲۷۰	۲۷۱	۲۷۲	۲۷۳	۲۷۴	۲۷۵	۲۷۶	۲۷۷	۲۷۸	۲۷۹	۲۸۰	۲۸۱	۲۸۲	۲۸۳	۲۸۴	۲۸۵	۲۸۶	۲۸۷	۲۸۸	۲۸۹	۲۹۰	۲۹۱	۲۹۲	۲۹۳	۲۹۴	۲۹۵	۲۹۶	۲۹۷	۲۹۸	۲۹۹	۳۰۰	۳۰۱	۳۰۲	۳۰۳	۳۰۴	۳۰۵	۳۰۶	۳۰۷	۳۰۸	۳۰۹	۳۱۰	۳۱۱	۳۱۲	۳۱۳	۳۱۴	۳۱۵	۳۱۶	۳۱۷	۳۱۸	۳۱۹	۳۲۰	۳۲۱	۳۲۲	۳۲۳	۳۲۴	۳۲۵	۳۲۶	۳۲۷	۳۲۸	۳۲۹	۳۳۰	۳۳۱	۳۳۲	۳۳۳	۳۳۴	۳۳۵	۳۳۶	۳۳۷	۳۳۸	۳۳۹	۳۴۰	۳۴۱	۳۴۲	۳۴۳	۳۴۴	۳۴۵	۳۴۶	۳۴۷	۳۴۸	۳۴۹	۳۵۰	۳۵۱	۳۵۲	۳۵۳	۳۵۴	۳۵۵	۳۵۶	۳۵۷	۳۵۸	۳۵۹	۳۶۰	۳۶۱	۳۶۲	۳۶۳	۳۶۴	۳۶۵	۳۶۶	۳۶۷	۳۶۸	۳۶۹	۳۷۰	۳۷۱	۳۷۲	۳۷۳	۳۷۴	۳۷۵	۳۷۶	۳۷۷	۳۷۸	۳۷۹	۳۸۰	۳۸۱	۳۸۲	۳۸۳	۳۸۴	۳۸۵	۳۸۶	۳۸۷	۳۸۸	۳۸۹	۳۹۰	۳۹۱	۳۹۲	۳۹۳	۳۹۴	۳۹۵	۳۹۶	۳۹۷	۳۹۸	۳۹۹	۴۰۰	۴۰۱	۴۰۲	۴۰۳	۴۰۴	۴۰۵	۴۰۶	۴۰۷	۴۰۸	۴۰۹	۴۱۰	۴۱۱	۴۱۲	۴۱۳	۴۱۴	۴۱۵	۴۱۶	۴۱۷	۴۱۸	۴۱۹	۴۲۰	۴۲۱	۴۲۲	۴۲۳	۴۲۴	۴۲۵	۴۲۶	۴۲۷	۴۲۸	۴۲۹	۴۳۰	۴۳۱	۴۳۲	۴۳۳	۴۳۴	۴۳۵	۴۳۶	۴۳۷	۴۳۸	۴۳۹	۴۴۰	۴۴۱	۴۴۲	۴۴۳	۴۴۴	۴۴۵	۴۴۶	۴۴۷	۴۴۸	۴۴۹	۴۵۰	۴۵۱	۴۵۲	۴۵۳	۴۵۴	۴۵۵	۴۵۶	۴۵۷	۴۵۸	۴۵۹	۴۶۰	۴۶۱	۴۶۲	۴۶۳	۴۶۴	۴۶۵	۴۶۶	۴۶۷	۴۶۸	۴۶۹	۴۷۰	۴۷۱	۴۷۲	۴۷۳	۴۷۴	۴۷۵	۴۷۶	۴۷۷	۴۷۸	۴۷۹	۴۸۰	۴۸۱	۴۸۲	۴۸۳	۴۸۴	۴۸۵	۴۸۶	۴۸۷	۴۸۸	۴۸۹	۴۹۰	۴۹۱	۴۹۲	۴۹۳	۴۹۴	۴۹۵	۴۹۶	۴۹۷	۴۹۸	۴۹۹	۵۰۰	۵۰۱	۵۰۲	۵۰۳	۵۰۴	۵۰۵	۵۰۶	۵۰۷	۵۰۸	۵۰۹	۵۱۰	۵۱۱	۵۱۲	۵۱۳	۵۱۴	۵۱۵	۵۱۶	۵۱۷	۵۱۸	۵۱۹	۵۲۰	۵۲۱	۵۲۲	۵۲۳	۵۲۴	۵۲۵	۵۲۶	۵۲۷	۵۲۸	۵۲۹	۵۳۰	۵۳۱	۵۳۲	۵۳۳	۵۳۴	۵۳۵	۵۳۶	۵۳۷	۵۳۸	۵۳۹	۵۴۰	۵۴۱	۵۴۲	۵۴۳	۵۴۴	۵۴۵	۵۴۶	۵۴۷	۵۴۸	۵۴۹	۵۵۰	۵۵۱	۵۵۲	۵۵۳	۵۵۴	۵۵۵	۵۵۶	۵۵۷	۵۵۸	۵۵۹	۵۶۰	۵۶۱	۵۶۲	۵۶۳	۵۶۴	۵۶۵	۵۶۶	۵۶۷	۵۶۸	۵۶۹	۵۷۰	۵۷۱	۵۷۲	۵۷۳	۵۷۴	۵۷۵	۵۷۶	۵۷۷	۵۷۸	۵۷۹	۵۸۰	۵۸۱	۵۸۲	۵۸۳	۵۸۴	۵۸۵	۵۸۶	۵۸۷	۵۸۸	۵۸۹	۵۹۰	۵۹۱	۵۹۲	۵۹۳	۵۹۴	۵۹۵	۵۹۶	۵۹۷	۵۹۸	۵۹۹	۶۰۰	۶۰۱	۶۰۲	۶۰۳	۶۰۴	۶۰۵	۶۰۶	۶۰۷	۶۰۸	۶۰۹	۶۱۰	۶۱۱	۶۱۲	۶۱۳	۶۱۴	۶۱۵	۶۱۶	۶۱۷	۶۱۸	۶۱۹	۶۲۰	۶۲۱	۶۲۲	۶۲۳	۶۲۴	۶۲۵	۶۲۶	۶۲۷	۶۲۸	۶۲۹	۶۳۰	۶۳۱	۶۳۲	۶۳۳	۶۳۴	۶۳۵	۶۳۶	۶۳۷	۶۳۸	۶۳۹	۶۴۰	۶۴۱	۶۴۲	۶۴۳	۶۴۴	۶۴۵	۶۴۶	۶۴۷	۶۴۸	۶۴۹	۶۵۰	۶۵۱	۶۵۲	۶۵۳	۶۵۴	۶۵۵	۶۵۶	۶۵۷	۶۵۸	۶۵۹	۶۶۰	۶۶۱	۶۶۲	۶۶۳	۶۶۴	۶۶۵	۶۶۶	۶۶۷	۶۶۸	۶۶۹	۶۷۰	۶۷۱	۶۷۲	۶۷۳	۶۷۴	۶۷۵	۶۷۶	۶۷۷	۶۷۸	۶۷۹	۶۸۰	۶۸۱	۶۸۲	۶۸۳	۶۸۴	۶۸۵	۶۸۶	۶۸۷	۶۸۸	۶۸۹	۶۹۰	۶۹۱	۶۹۲	۶۹۳	۶۹۴	۶۹۵	۶۹۶	۶۹۷	۶۹۸	۶۹۹	۷۰۰	۷۰۱	۷۰۲	۷۰۳	۷۰۴	۷۰۵	۷۰۶	۷۰۷	۷۰۸	۷۰۹	۷۱۰	۷۱۱	۷۱۲	۷۱۳	۷۱۴	۷۱۵	۷۱۶	۷۱۷	۷۱۸	۷۱۹	۷۲۰	۷۲۱	۷۲۲	۷۲۳	۷۲۴	۷۲۵	۷۲۶	۷۲۷	۷۲۸	۷۲۹	۷۳۰	۷۳۱	۷۳۲	۷۳۳	۷۳۴	۷۳۵	۷۳۶	۷۳۷	۷۳۸	۷۳۹	۷۴۰	۷۴۱	۷۴۲	۷۴۳	۷۴۴	۷۴۵	۷۴۶	۷۴۷	۷۴۸	۷۴۹	۷۵۰	۷۵۱	۷۵۲	۷۵۳	۷۵۴	۷۵۵	۷۵۶	۷۵۷	۷۵۸	۷۵۹	۷۶۰	۷۶۱	۷۶۲	۷۶۳	۷۶۴	۷۶۵	۷۶۶	۷۶۷	۷۶۸	۷۶۹	۷۷۰	۷۷۱	۷۷۲	۷۷۳	۷۷۴	۷۷۵	۷۷۶	۷۷۷	۷۷۸	۷۷۹	۷۸۰	۷۸۱	۷۸۲	۷۸۳	۷۸۴	۷۸۵	۷۸۶	۷۸۷	۷۸۸	۷۸۹	۷۹۰	۷۹۱	۷۹۲	۷۹۳	۷۹۴	۷۹۵	۷۹۶	۷۹۷	۷۹۸	۷۹۹	۷۱۰	۷۱۱	۷۱۲	۷۱۳	۷۱۴	۷۱۵	۷۱۶	۷۱۷	۷۱۸	۷۱۹	۷۲۰	۷۲۱	۷۲۲	۷۲۳	۷۲۴	۷۲۵	۷۲۶	۷۲۷	۷۲۸	۷۲۹	۷۳۰	۷۳۱	۷۳۲	۷۳۳	۷۳۴	۷۳۵	۷۳۶	۷۳۷	۷۳۸	۷۳۹	۷۴۰	۷۴۱	۷۴۲	۷۴۳	۷۴۴	۷۴۵	۷۴۶	۷۴۷	۷۴۸	۷۴۹	۷۵۰	۷۵۱	۷۵۲	۷۵۳	۷۵۴	۷۵۵	۷۵۶	۷۵۷	۷۵۸	۷۵۹	۷۶۰	۷۶۱	۷۶۲	۷۶۳	۷۶۴	۷۶۵	۷۶۶	۷۶۷	۷۶۸	۷۶۹	۷۷۰	۷۷۱	۷۷۲	۷۷۳	۷۷۴	۷۷۵	۷۷۶	۷۷۷	۷۷۸	۷۷۹	۷۸۰	۷۸۱	۷۸۲	۷۸۳	۷۸۴	۷۸۵	۷۸۶	۷۸۷	۷۸۸	۷۸۹	۷۹۰	۷۹۱	۷۹۲	۷۹۳	۷۹۴	۷۹۵	۷۹۶	۷۹۷	۷۹۸	۷۹۹	۷۱۰	۷۱۱	۷۱۲	۷۱۳	۷۱۴	۷۱۵	۷۱۶	۷۱۷	۷۱۸	۷۱۹	۷۲۰	۷۲۱	۷۲۲	۷۲۳	۷۲۴	۷۲۵	۷۲۶	۷۲۷	۷۲۸	۷۲۹	۷۳۰	۷۳۱	۷۳۲	۷۳۳	۷۳۴	۷۳۵	۷۳۶	۷۳۷	۷۳۸	۷۳۹	۷۴۰	۷۴۱	۷۴۲	۷۴۳	۷۴۴	۷۴۵	۷۴۶	۷۴۷	۷۴۸	۷۴۹	۷۵۰	۷۵۱	۷۵۲	۷۵۳	۷۵۴	۷۵۵	۷۵۶	۷۵۷	۷۵۸	۷۵۹	۷۶۰	۷۶۱	۷۶۲	۷۶۳	۷۶۴	۷۶۵	۷۶۶	۷۶۷	۷۶۸	۷۶۹	۷۷۰	۷۷۱	۷۷۲	۷۷۳	۷۷۴	۷۷۵	۷۷۶	۷۷۷	۷۷۸	۷۷

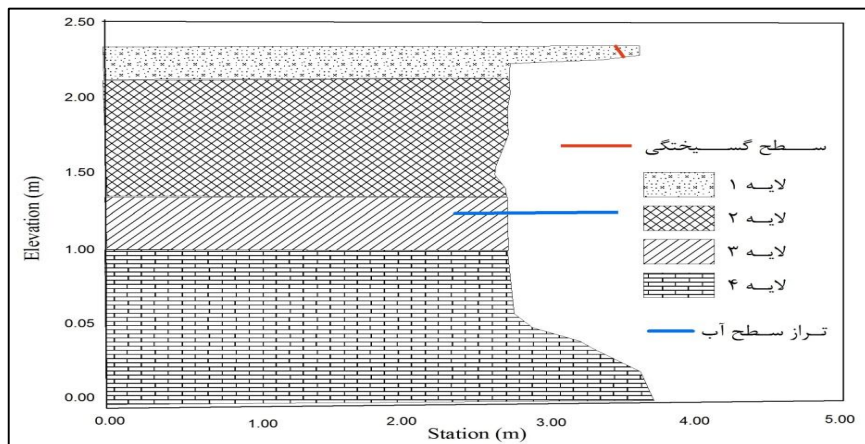
جدول ۳: پارامترهای جریان و کanal

دبي حداكثر لحظه‌اي		دبي لبالبي		شيب بازه (متر بر متر)	طول بازه (متر)	پارامتر
طول مدت جریان (ساعت)	عمق (متر)	طول مدت جریان (ساعت)	عمق (متر)			
۲۴	۲.۳۵	۲۴	۱/۰۵	۰/۰۲	۲۰	مقدار

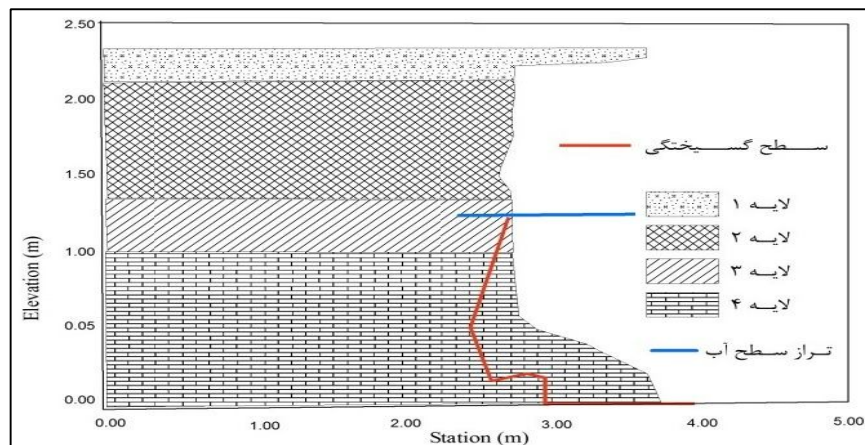
(دبي لبالبي و حداكثر دبى قابل انتظار) در مدل شبیه‌سازی شد تا مقدار فرسایش هیدرولیک و تغییر در هندسه منطقه پای کرانه تعیین گردد. نتایج این شبیه‌سازی و تأثیرات دبى لبالبي بر کرانه و پای کرانه به ترتیب در شکل‌های ۳ و ۴ قبل مشاهده است:

شبیه‌سازی کرانه برای دو سناریوی دبى لبالبي و حداكثر دبى لحظه‌اي صورت گرفت. در مدل BSTEM شبیه‌سازی کرانه و پای کرانه به صورت مجزا انجام می‌گيرد:

شرایط دبى لبالبي: تأثیرات دبى‌های مختلف جریان



شکل ۳: شبیه‌سازی پسروی کرانه در دبى لبالبي



شکل ۴: شبیه‌سازی پسروی پای کرانه در دبى لبالبي

زیربری خواهد شد. در مرحله بعدی هندسه جدید کanal به بخش مدل پایداری کرانه منتقل تا میزان پایداری نسی کرانه مشخص شود. اگر ضریب امنیت (FS) بزرگ‌تر از ۱ بود، هندسه کanal به روز نخواهد شد و واقعه

در شرایط فعلی دیواره بازه مورد نظر در دبى‌های لبالبي و حداكثر لحظه‌اي با تداوم ۲۴ ساعت به صورت آنچه در تصاویر قبل ملاحظه است (خط قمزرنگ در تصاویر ۳ و ۴ پروفیل فرسایشی است) دچار پسروی و

نایپیدار دارد. در جدول ۴ همچنین میزان عرض شکستگی، کرانه حجم شکت کرانه، بار رسبو تولیدی، متوسط تنش برشی مرزی، مساحت فرسایش یافته کرانه و پای کرانه، مساحت فرسایش یافته بستر و درنهایت کل مساحت فرسایش یافته در بازه ۲۰ متری مورد نظر آمده است.

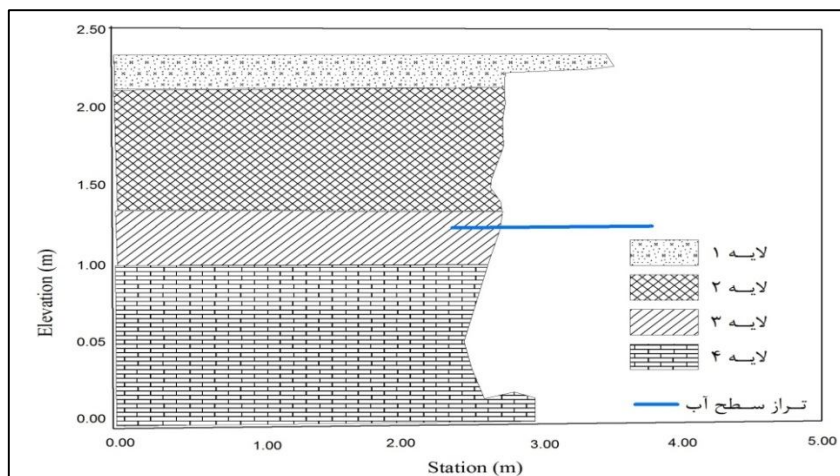
جريانی جدید شبیه‌سازی می‌شود. اگر ضربی اینمی (FS) کمتر از ۱ بود، بدین معناست که کرانه نایپیدار بوده و شکست کرانه شبیه‌سازی شده و هندسه جدید کرانه برای شبیه‌سازی‌ها به روز خواهد شد.

همان‌گونه که در جدول ۴ آمده است فاکتور امنیت (FS) کرانه در شرایط اعمال دبی لبالی حوضه، ۰/۴۲ است. این بدین معناست که کرانه شرایط

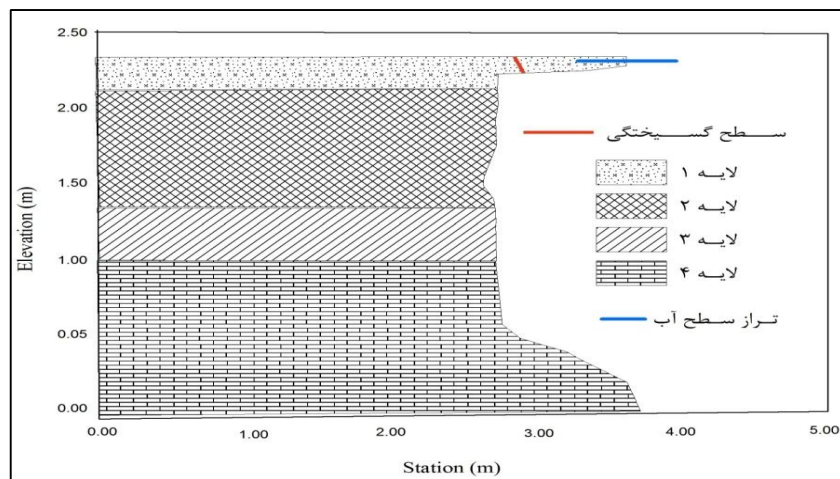
جدول ۴: پارامترهای نایپیداری ناشی از دبی لبالی جريان در دوره ۲۴ ساعته بر روی کرانه

پارامتر	فакتور امنیت (FS)	عرض شکست (مترا)	حجم شکست (مترمکعب)	بار رسبو تولیدی (کیلوگرم)	متوسط تنش برشی مرزی (پاسکال)	مساحت فرسایش یافته کرانه (مترمربع)	مساحت فرسایش یافته های کرانه (مترمربع)	مساحت فرسایش یافته بستر (مترمربع)	کل مساحت فرسایش یافته (مترمربع)
دبی لبالی	۰/۴۲	۰/۱۴	۰/۳	۲۴۵	۱۵۵/۲۹۰	۰/۴۲۴	۰/۱۵۷	۰	۰/۵۸۱

پس از اعمال شرایط ذکر شده، هندسه کanal به صورت آنچه در شکل ۵ آمده تغییر خواهد کرد.



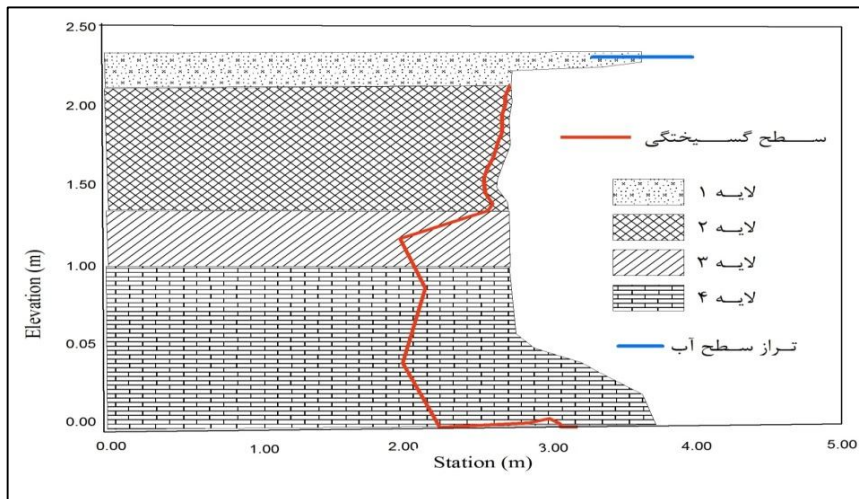
شکل ۵: نیمرخ کرانه بعد از اعمال شرایط شکست و زیربری کرانه در سناریوی دبی لبالی



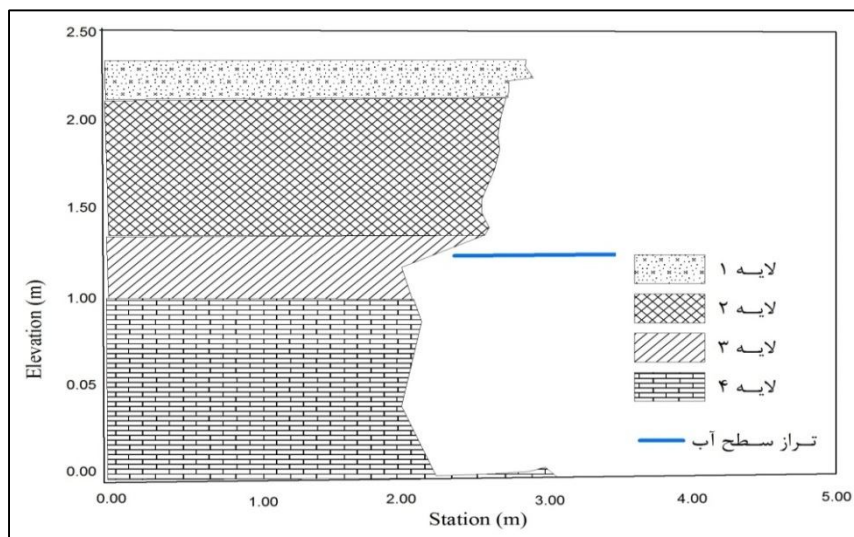
شکل ۶: شبیه‌سازی پسروی کرانه در دبی حداقل لحظه‌ای

در شکل‌های شماره‌های ۶ و ۷ خط شکست و زیربری در کرانه و پای کرانه قابل ملاحظه است.

شرایط دبی حداکثر لحظه‌ای: شرایط کرانه در دبی حداکثر لحظه‌ای نیز در نرم‌افزار شبیه‌سازی شد و تأثیر این دبی در کرانه و پای کرانه استخراج گردید.



شکل ۷: شبیه‌سازی پسروی پای کرانه در دبی حداکثر لحظه‌ای



شکل ۸: نیمرخ کرانه بعد از اعمال شرایط شکست و زیربری کرانه در سناریوی دبی حداکثر لحظه‌ای

جدول ۵ آمده است فاکتور امنیت کرانه در شرایط دبی حداکثر لحظه‌ای ۰/۵۱ و بنابراین ناپایدار است. بعد از اعمال شکست کرانه و زیربری پای کرانه، نیمرخ کرانه به صورت آنچه در شکل ۸ مشاهده می‌شود دیده خواهد شد.

همان‌گونه که قبلًا ذکر شد در صورتی ضریب ایمنی (FS) کمتر از ۱ بود، یعنی کرانه ناپایدار است و شکست کرانه شبیه‌سازی شده و نتایج سطح شکست کرانه و پای کرانه اعمال شده و هندسه جدید کرانه استخراج می‌شود. طبق نتایج به دست آمده که در

جدول ۵: پارامترهای ناپایداری ناشی از دبی حداقل لحظه‌ای جریان در دوره ۲۴ ساعته بر روی کرانه

دبی حداقل لحظه‌ای	پارامتر	فکتور امنیت (FS)	عرض شکست (مترا مکعب)	حجم شکست (مترا مکعب)	بار رسوب تولیدی (کیلوگرم)	متوسط تنفس بر شریعه مرزی (پاسکال)	مساحت یافته کرانه (مترا مربع)	مساحت فرسایش یافته‌های کرانه (مترا مربع)	مساحت فرسایش یافته (مترا مربع)	مساحت فرسایش یافته بستر (مترا مربع)	کل مساحت فرسایش یافته (مترا مربع)
۱/۴۱۲	۰/۰۵۹	۰/۸۰۳	۰/۷۴۹	۵۲۹/۹۲۰	۲۲۷۳	۱	۰/۷۴	۰/۵۱	دبی حداقل لحظه‌ای		

در کرانه چندلایه‌ای رودخانه لاویج که شامل خاک‌های متراکم در بالا و گراول‌های غیرمتراکم در پایین است، پسروی قابل ملاحظه‌ای در طی جریانات صورت می‌گیرد. همان‌گونه که در تصاویر شماره ۵ و ۸ مشهود است پسروی کanal در لایه‌های غیر چسبنده پایین کرانه بیشتر از لایه اولیه است که چسبنده‌گی بیشتری دارد. این نکته نشان‌دهنده اهمیت شرایط ژئوتکنیکال خاک در پسروی و زیربری کرانه توسط فرآیندهای رودخانه‌ای است. با توجه به اینکه مدل BSTEM از جمله مدل‌هایی است که در آن اهمیت پارامترهای ژئوتکنیک در میزان پسروی کناره لحاظ شده است، مدل مناسبی برای کرانه‌های مرکب از چند لایه با تراکم متفاوت است. نظر به این که این مدل برای کرانه‌های داری پوشش‌گیاهی یا حفاظت مکانیکی نیز قابل اجرا است، در پایان پیشنهاد می‌گردد به منظور بررسی اثر این حفاظت‌ها در کاهش میزان فرسایش کناری رودخانه و انتخاب بهترین نوع حفاظت کناره از این مدل در مدیریت رودخانه‌ها استفاده شود.

منابع

- حسینزاده، محمد Mehdi. سیدحسن صدقو و سعیده متین‌بیرانوند و رضا اسماعیلی. ۱۳۹۶. بررسی پایداری رسوبات بستر رودخانه لاویج با استفاده از روش تنفس بر شری بحرانی و دبی واحد بحرانی. پژوهش‌های دانش زمین، شماره ۲۹.
- خرایی، مجید. احمد نوحه‌گر و رسول مهدوی نجف‌آبادی و عبدالرسول تلوری. ۱۳۹۵. بررسی پایداری کناری و فرسایش پنجهای ناشی از جریان سطحی با استفاده از مدل BSTEM (مطالعه موردی: رودخانه بشار)، اکو هیدرولوژی. شماره ۱.

نتیجه‌گیری

در این مقاله باهدف بررسی کاربرد مدل‌های هیدرولوژیکی در پیش‌بینی میزان پسروی کرانه رودخانه، از مدل پایداری کناره و فرسایش پای کرانه استفاده شده است. مدل BETEM از جمله مدل‌های شبیه‌سازی عددی است که با در نظر گرفتن توأم پارامترهای رودخانه‌ای، ژئوتکنیک خاک، همچنین دخالت دادن تراز آب رودخانه و تأثیر آن در فشار آب منفذی خاک، می‌تواند میزان پسروی و زیربری کرانه را واقعی‌تر پیش‌بینی کند. نتایج شبیه‌سازی شرایط رودخانه لاویج با استفاده از این مدل در دبی‌های لبالی و حداقل لحظه‌ای نشان داد که فاکتور امنیت (FS) کرانه در هر دو مورد کمتر از ۱ است و این بدین معناست که در هر سیالابی که دبی جریان به دبی لبالی و یا دبی حداقل لحظه‌ای برسد امکان فرسایش کناری، ناپایداری و سقوط کرانه را فراهم می‌کند. در شرایط دبی لبالی ۰/۵۸۱ مترمربع و در شرایط دبی حداقل لحظه‌ای ۱/۴۱۲ مترمربع از کرانه فرسوده خواهد شد.

متأسفانه در منطقه مورد مطالعه به علت تراکم بالای جنگل‌ها امکان پایش میزان پسروی کرانه‌های کanal بر روی عکس‌های هوایی و تصاویر ماهواره‌ای در طول زمان وجود ندارد. به همین علت نتایج مدل با نتایج حاصل از پژوهشی دیگر از نویسنده که در همین بازه از رودخانه با استفاده از روش دبی واحد بحرانی و تنفس بر شری بحرانی انجام داده (حسین‌زاده و همکاران، ۱۳۹۶) مورد مقایسه قرار گرفت. نتایج هر دو پژوهش نشان داد ذرات تشکیل‌دهنده کرانه رودخانه در دبی لبالی شروع به حرکت خواهند نمود و فرسایش و سقوط آغاز خواهد شد.

13. Julian, Jason P. and Raymind Torres. 2006. Hydraulic erosion of cohesive riverbanks. *Geomorphology*, 76.
14. Kandolf, G. Mathias and Hervé, Piegay. 2003. Tools in fluvial geomorphology, Wiley & Sons.
15. Kean, Jason, W. and Dungan Smith, J. 2006a. Form drag in rivers due to small-scale natural topographic features: 1. Regular sequences, *J. Geophys. Res.*, 111: F04009.
16. Kean, Jason, W. and Dungan Smith, J. 2006b. Form drag in rivers due to small-scale natural topographic features: 2. Irregular sequences, *J. Geophys. Res.*, 111: F04010.
17. Kirkby, Michael J. 1996. Earth Surface Processes and Landforms, John Wiley and Sons, Chichester.
18. Konsoer, Kory M. Rhoads, Bruce Lane, Eddy J. Langendoen, James L. Best, Mike, E Ursic, Jorge D Abad and Marcelo H. Garcia. 2015. Spatial variability in bank resistance to erosion on a large meandering, mixed bedrock-alluvial river. *Geomorphology*, 252.
19. McBride, Maeve. W. Cully Hession, Donna M. Rizzo, and Douglas M. Thompson. 2007. The influence of riparian vegetation on near-bank turbulence: A flume experiment. *Earth Surf. Processes Landforms*, 32(13).
20. Midgley Taber. Garey A. Fox and Derek M. Heeren. 2012. Evaluation of the bank stability and toe erosion model (BSTEM) for predicting lateral retreat on composite streambanks. *Biological Systems Engineering, Geomorphology*, 145-146.
21. Papanicolaou, Athanasios, N. Mohamad Elhakeem and Robert Hilldale. 2007. Secondary current effects on cohesive river bank erosion. *Water Resour., Res.*, 43: W12418.
22. Parker Chris. Simon Andrew and Thorne Colin R. 2008. The effects of variability in bank material properties on riverbank stability: Goodwin Creek, Mississippi. *Geomorphology*, 101.
23. Partheniades, E. 1965. Erosion and deposition of cohesive soils. *Journal of*
3. خزینه‌نژاد، حسین. مهوش شفاعی بجستان. ۱۳۸۹.
- بررسی شرایط آستانه حرکت رسوبات غیر چسبنده در کانال‌های روباز دارای شبکه ملایم و مقطع مستطیلی مهندسی آبیاری و آب، شماره ۲.
۴. شرفی، سیامک. ایوالفضل شامی و مجتبی یمانی. ۱۳۹۳. بررسی تغییرات مورفولوژیکی رودخانه اترک در یک بازه زمانی ۲۰ ساله. آمیش جغرافیایی فضای سی و سوم، دوره ۱۴، شماره ۴.
۵. صمدی، امیر. ابراهیم امیری تکلدانی. ۱۳۹۴. فرسایش توده‌ای سواحل و رودخانه‌ها فرآیندها و سازوکارها. انتشارات دانشگاه تهران.
۶. نظری، اکبر. محمد Mehdi حیدری. ۱۳۹۰. آستانه حرکت رسوبات یکنواخت. هشتمین کنفرانس هیدرولیک ایران، تهران، دانشکده فنی دانشگاه تهران.
7. Clark, L.A. and Wynn, T.M. 2007. Methods for determining stream bank critical shear stress and soil erodibility: Implications for erosion rate predictions, *Trans. Am. Soc. Agric. Biol. Eng.*, 50: 95–106.
8. Crosato, Alessandra. 2007. Effects of smoothing and regridding in numerical meander migration models. *Water resources research*, 43.
9. Darby Stephen, E. Marco, J Van de Wiel, M.J. 2003. Models in fluvial geomorphology, John Wiley and Sons: Chichester.
10. Darby, Stephen, E. Meropi, N Spyropoulos, Neil. W Bressloff and Massiom Rinaldi. 2004. Fluvial bank erosion in meanders: A CFD modeling approach, in *Aquatic Habitats. Analysis and Restoration*, vol. 1, edited by D. Garcia de JalónLastra, and P.V. Martinez, Int. Assoc. of Hydraul. Eng. and Res., Madrid, Spain.
11. Garcia, and Marcelo H. 2008. Sediment transport and morphodynamics. *Sedimentation Engineering: Processes, Measurements, Modeling and Practice*. ASCE Manuals and Reports on Engineering Practice No. 110. American Society of Civil Engineers, Reston, VA.
12. Hanson, Gregory J. and Andrew Simon. 2001. Erodibility of cohesive sediment in the loess area of the Midwestern USA. *Hydrological Processes* 15.

- Process Understanding to River Restoration. *Earth Surf. Processes*, Vol. 11, edited by H. Habersack et al., pp. 213–239, Elsevier, New York.
27. Rinaldi, Massimo, Beatrice Mengoni, Laura, Luppi, Stephen E. Darby and Erik Mosselman. 2008. Numerical simulation of hydrodynamics and bank erosion in a river bend. *Water Resources Research*, 44: W09428.
- 28.-Simon, Andrew, Andera Curini, Stephen E. Darby and Eddy. J Langendoen. 2000. Bank and near-bank processes in an incised channel. *Geomorphology* 35: 1.
29. Wynn, Theresa and Mostaghimi, S. 2006. The effects of vegetation and soil type on stream bank erosion, southwestern Virginia, USA. *Journal of the American Water Resources Association (JAWRA)*, 42(1).
- the Hydraulics Division of the American Society of Civil Engineers, 91 (HY1).
24. Piegay, Hervé, Stephen E. Darby, Erik Mosselman and Nicola Surian. 2005. A review of techniques available for delimiting the erodible river corridor: a sustainable approach to managing bank erosion. *River research and application*, 21.
25. Tolhurst, Trevor. Kevin. S Black, A.S. Shayler, Se Mather, Iris Black, K Baker, and David M. Paterson. 1999. Measuring the in situ erosion shear strength of intertidal sediments with the Cohesive Strength Meter (CSM). *Estuarine Coastal Shelf Sci.*, 49.
26. Rinaldi, Massimo and Stephen E. Darby. 2008. Modelling river-bank-erosion processes and mass failure mechanisms: Progress towards fully coupled simulations, in *Gravel-Bed Rivers From*

